

# SISTEMUL DEFENSIV DIN PERIOADA GETICĂ BUTUCENI-VEST: PRECIZĂRI PRIVIND TRAIECTORIA LINIEI DEFENSIVE VEST NR. 2

Octavian Munteanu  
Nicolae Batog  
Valeriu Prohnițchi

*Cuvinte-cheie:* fortificații getice, linii defensive, palisadă complexă, paramente de piatră, bermă, șanț defensiv.

## Introducere. Rezultate anterioare: probleme și direcții de cercetare

Cu prilejul construcției apeductului în satele Morovaia și Butuceni, în primăvara-vara anului 2013, au fost efectuate săpături arheologice preventive în spațiul celei de a noua linii de apărare a renumitului sit getic Butuceni, care se află în partea de vest a promontoriului cu același nume (fig. 1/1, 2; fig. 2, SI). Este unica fortificație necercetată de către arheologi dintre cele nouă cunoscute, evident, pentru perioadele în care s-au efectuat investigațiile respective<sup>1</sup>. Descoperirile ce au văzut lumina zilei ne-au determinat să continuăm cercetările de teren, care s-au perpetuat până în anul 2018 și sunt departe de a fi încheiate (fig. 2, SII-SXIII). Făcând bilanțul celor studiate anterior, se conturează un tablou în care se regăsesc deopotrivă explicații pentru a înțelege modalitățile de fortificare a spațiului din vestul promontoriului Butuceni, cât și probleme care își mai așteaptă soluții. Le vom rezuma succint.

*Sistemele defensive din vestul promontoriului Butuceni.* În baza informațiilor acumulate de-a lungul campaniilor 2013-2016, se desprindea ideea existenței, în partea de vest a promontoriului Butuceni, a trei segmente defensive diferite care sunt orientate preponderent pe axa est-vest:

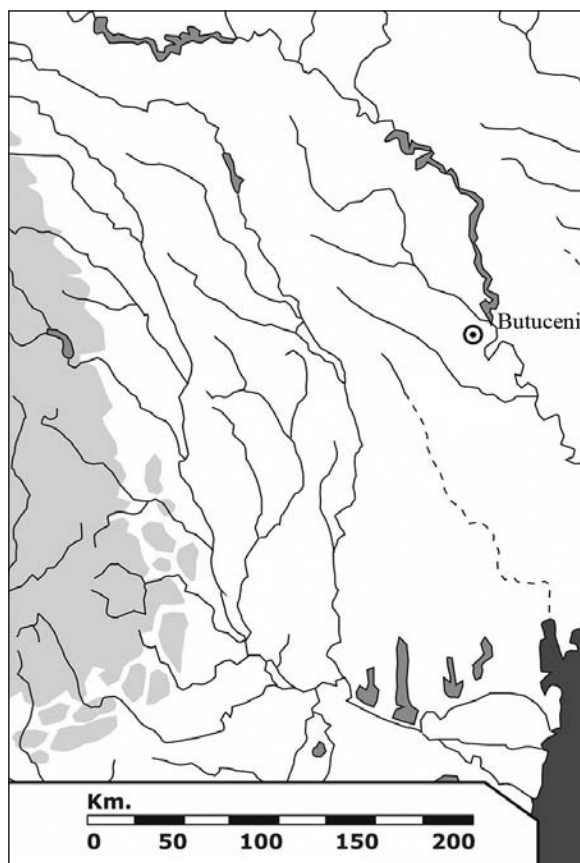


Fig. 1. Amplasarea geografică și ortofotoplanul sitului de la Butuceni.

<sup>1</sup> Pentru cercetările anterioare a se vedea lucrările mai importante: Смирнов 1954; Arnăuț 1996; Niculiță 1996; Niculiță, Teodor, Zănoici 1995; Niculiță, Teodor, Zănoici 1997; Niculiță, Teodor, Zănoici 2002.



Fig. 2. Promontoriul Butuceni, partea de vest. Ortofotoplan. Amplasarea secțiunilor trasate în perioada anilor 2013-2018.

- prima linie defensivă<sup>2</sup> este cea care, în partea de est, pornește de la segmentul conservat în vârful promontoriului și continuă spre vest, spre rămășițele valului din fâșia forestieră (fig. 3, segmentul ce leagă punctele 1 și 2; Munteanu 2016, 237-238; Munteanu 2017, 79-81). Între aceste două repere nu a mai rămas nici urmă vizibilă de fortificație după intervențiile masive în sol ce au fost întreprinse odată cu amenajarea podului. Nefiind cercetată deocamdată, analiza vizuală a fortificației nu poate oferi multe informații. Ceea ce poate fi afirmat fără echivoc, însă, este caracterul viguros al sistemului defensiv, fără ca acesta să fie atribuit perioadei getice (deși, în contextul datelor existente, bănuim că anume așa este) sau oricărei alteia;
- a doua linie defensivă (*linia defensivă Vest nr. 2*) este cea care a fost identificată și cercetată în diferite segmente pe parcursul anilor 2013 și 2014 (fig. 3, segmentul ce leagă punctele 3 și 4; Munteanu 2016a, 238-243; Munteanu 2016b, 23-24, Munteanu 2016c; Munteanu 2017a, 71-88; Munteanu 2017b, 44-46; Munteanu 2017c), dar și în 2017-2018 (fig. 3, segmentul ce leagă punctele 3 și 3A; Muntea-

<sup>2</sup> Pentru a evita orice confuzii în desemnarea liniilor defensive în partea de vest a promontoriului, vom utiliza pentru această linie, de aici încolo, termenul linia defensivă Vest nr. 1 or, este vorba de ceea ce predecesorii noștri au desemnat cu termenul de linia defensivă nr. 9. Toate celelalte segmente de fortificare care au fost identificate ulterior în partea vestică a promontoriului, le-am numerotat consecutiv folosind aceeași sintagmă: linia defensivă Vest nr. 2, nr. 3 etc.

nu 2018). La nivelul actual de călcare ea este slab vizibilă, fiind posibilă delimitarea doar a valului, șanțul fiind afectat de intervențiile în sol din perioada construcției podului de beton. Traectoria acestei linii defensive poate fi urmărită cu ochiul liber dinspre malul Răutului, prin grădinile locuitorilor din Butuceni (este adevărat că începând de la o distanță destul de importantă de albia râului) până la drumul de acces în sat, dar și dincolo de acesta – spre interiorul promontoriului (drumul și parcare auto au tăiat din sistemul defensiv). Și imediat după drum poate fi urmărit doar valul, căci, după toate observațiile, șanțul antic s-ar afla pe locul actualului drum ce urcă în vârful promontoriului spre intrarea în mănăstirea rupestră. Observațiile mai atente ce au fost făcute după cercetările din secțiunea nr. V, în care au fost clar stabilite urmele sistemului defensiv Vest nr. 2 și dincolo de drum (Munteanu 2017a, 89, fig. 16), au oferit posibilitatea urmăririi structurii defensive mai înspre est. Ea avansează paralel cu valul vizibil din vârful promontoriului (linia defensivă Vest nr. 1) cam până în drept cu capătului acesteia, după care face curba spre sud, iar la scurtă distanță de curbura dispăre de la nivelul actual de călcare (fig. 3, segmentul marcat cu linie întreruptă ce pornește de la punctul 4). Am admis, într-o anumită fază a cercetărilor, în calitate de ipoteză, că respectivul sistem defensiv ar putea avea formă circulară. Încercările de a urmări traectoria fortificației mai spre est, dincolo de spațiul în care aceasta poate fi observată la nivelul actual de călcare (pe parcursul campanii arheologice din anul 2016), nu a dat rezultat. Renunțând la ipoteza formei circulare, am restrâns versiunea de lucru spre o formă semicirculară. Am admis, în acest sens, că aceeași linie defensivă ar putea avea o prelungire și în partea de vest, având în vedere întreruperea artificială a sistemului defensiv, dar și aglomerațiile de piatră depistate de-a lungul râului (fig. 3, segmentul marcat cu linie întreruptă de la linia punctat-întreruptă amplasată mai la vest de punctul 3; Munteanu 2017a, 92-97, fig. 18-20). Mai mult, am admis că respectivele aglomerații de piatră ar putea sugera conexiunea liniei defensive Vest nr. 2 cu un alt segment de aglomerații de pietre ce a fost localizat mai înspre sud, perpendicular cu albia râului. Cercetările din anul 2015, însă au indicat prezența, în acel loc, a unui alt segment



Fig. 3. Promontoriul Butuceni. Vedere generală dinspre nord-vest cu marcarea punctelor în care au fost identificate urme de fortificare (1-5). Linie întrerupt-punctată: traiectoria stabilită a liniei defensive; linie întreruptă: traiectoria ipotetică a sistemului defensiv

defensiv, diferit de linia Vest nr. 2 – linia defensivă Vest nr. 3. În acest fel, problema traiectoriei sistemului defensiv Vest nr. 2 rămânea una deschisă.

- cel de al treilea segment defensiv (*linia defensivă Vest nr. 3*), descoperit în anul 2015, a fost constituit din palisadă complexă și șanț adiacent amplasat în partea de nord a construcției (fig. 3, punctul 5 și segmentul marcat cu linie dreaptă; Munteanu 2016a, 243-248; Munteanu 2017a, 96-102). Aceste concluzii s-au desprins din cercetările și observațiile privind dispunerea elementelor constitutive, a dimensiunilor acestora și datelor stratigrafice care ne-au determinat să apreciem respectivele structuri drept gropi de par și să le abordăm ca un tot întreg împreună cu șanțul. De remarcat lipsa bermei, care reprezintă o particularitate a acestui segment fortificat în raport cu linia defensivă Vest nr. 2.

Delimitând clar cele două linii defensive cercetate (nr. 2 și nr. 3), ne-am pus problema traiectoriei și corelării lor cronologice, la care vom reveni, însă, imediat după ce vom prezenta observațiile privind elementele constitutive ale fortificațiilor cercetate și tehnicile utilizate pentru edificarea lor.

### **Elemente constitutive și tehnici utilizate pentru ridicarea sistemelor defensive cercetate**

Cercetările efectuate în anii 2013-2016 au oferit informație suficientă pentru a ne forma o imagine relativ clară cu privire la tehnicile utilizate pentru ridicarea sistemelor defensive cercetate. Totodată, trebuie să constatăm că există atât asemănări, cât și deosebiri ale elementelor caracteristice ce definesc segmentul defensiv Vest nr. 3 (cercetat în anul 2015) și cele cercetate în anii anteriori în cadrul sistemului defensiv Vest nr. 2. Astfel, *la capitoul asemănări consemnăm următoarele:*

- atât la sistemul defensiv Vest nr. 3, cât și la linia defensivă Vest nr. 2, avem aceleași componente de bază: palisadă complexă și șanț adiacent;
- și într-un caz și în altul se observă utilizarea acelorași materii prime: deopotrivă cu utilizarea masivă a lemnului și pământului, piatra a fost parte componentă distinctă a construcțiilor de apărare;
- în ambele cazuri s-au identificat urmele gropilor pentru parii de lemn;
- în ambele cazuri gropile formau aliniamente;

- și într-un caz și în altul piatra utilizată nu este prelucrată;
- în ambele situații nu a fost folosit vreun fel de mortar pentru fixarea pietrelor.

*Și la capitolul deosebiri vom sesiza un șir de indici:*

- în primul rând, de atenționat asupra lipsei anumitor elemente constitutive ale sistemului defensiv în cadrul fortificației Vest nr. 3. Astfel, în cazul segmentelor cercetate din linia defensivă nr. 2 avem clar delimitată berma, pe când în cazul liniei defensive nr. 3, ea este lipsă;
- în fortificarea liniei defensive nr. 2 se observă utilizarea unei cantități foarte mari de piatră, pe când în cazul liniei defensive nr. 3 – nu a fost sesizată o astfel de situație (de altfel, și dimensiunile pietrelor utilizate diferă în favoare segmentelor defensive ale liniei defensive nr. 2);
- cantitatea de piatră utilizată ne sugerează că și elementele edificării sistemului defensiv au fost diferite. Astfel, în cazurile liniei defensive nr. 2 a fost posibilă urmărirea unui tablou mai mult sau mai puțin unitar, fortificația reprezentând o palisadă complexă formată din 3 aliniamente. Un aliniament realizat preponderent din piatră era amplasat dinspre incintă, la care se adăugau altele două realizate din lemn (pari îngropați, fortificați cu piatră). În cazul descoperirilor din linia defensivă nr. 3 utilizarea pietrei poate fi admisă doar pentru fortificarea componentelor din lemn și în componența emplectonului.

### **Traectoria liniilor defensive, corelația dintre ele și obiectivele cercetării**

Traectoria liniei defensive Vest nr. 1 ne este relativ clară. Ea are orientarea est-vest, cu o ușoară înclinare pe axa SE - NV. Nu ne sunt clare deocamdată limitele vestice, dar, având în vedere că în cadrul acestui articol respectiva linie defensivă nu face subiectul analizei, nu vom stăruii asupra detaliilor.

Traectoria liniei defensive Vest nr. 2 a suportat diferite abordări de-a lungul celor cinci ani de investigații. Mai întâi am admis forma circulară a acesteia, la care, însă, am renunțat după un șir de verificări. O doua ipoteză – cea privind forma semicirculară, prin conexiunea liniei defensive Vest nr. 2 cu aliniamentele de piatră aflate mai la sud (fig. 3, traectoria pe punctele 4, 3, și 5) a fost abandonată și ea, aliniamentul respectiv consti-

tuind urmele unei linii defensive distincte (linia defensivă Vest nr. 3; Munteanu 2016, 248-250; Munteanu 2017, 98-103). Amintim că atât șanțul liniei defensive Vest nr. 2, cât și șanțul liniei defensive Vest nr. 3, se află la nord de palisadă, or linia defensivă Vest nr. 3 are spațiul extra-mural orientat spre zona intra-murală a liniei defensive Vest nr. 2. În această situație, se desprinde limpede concluzia că respectivele segmente defensive, chiar dacă ar fi sincrone, nu ar putea fi percepute ca o singură linie defensivă cu caracter circular/semicircular, așa cum am admis într-o etapă anterioară.

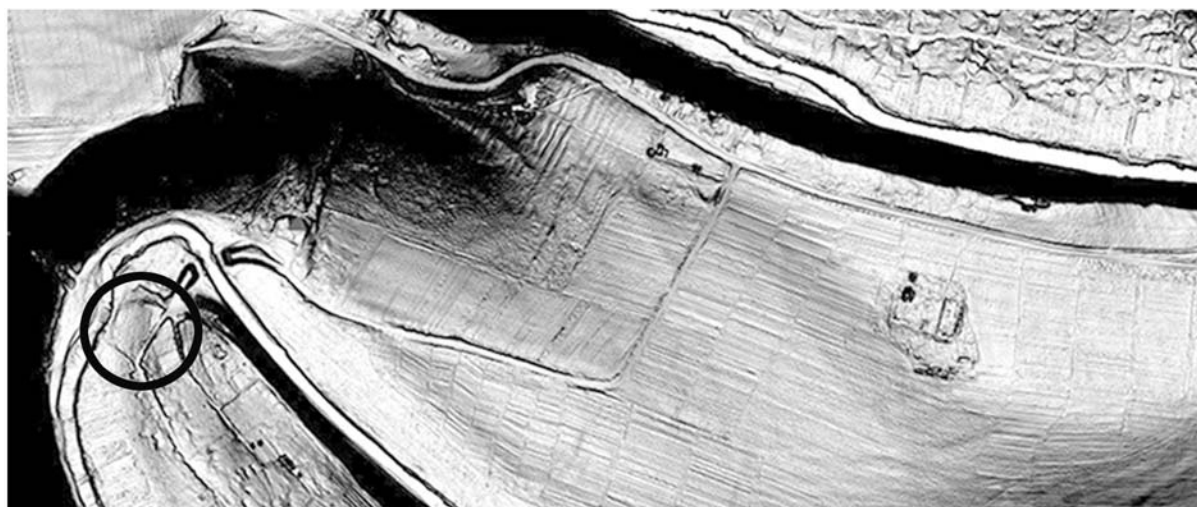
Excluzând conexiunea între cele două linii de fortificare, nu am exclus, însă, caracterul semicircular al liniei defensive Vest nr. 2. În favoarea menținerii respectivei ipoteze un rol decisiv l-au avut meditațiile privind aglomerațiile de piatră depistate la suprafața actuală a solului de-a lungul râului (fig. 3, segmentul marcat cu linie punctat-întreruptă), pe de o parte, dar și caracterul artificial al întreruperii urmelor defensive în partea de vest (e vorba de o certă intervenție actuală în contextul extinderii spațiului pus în circuit agricol).

### **Cercetările din anul 2017-2018: scop, sarcini, acțiuni și rezultate**

După cum menționasem chiar de la începutul textului, printre obiectivele de bază ale investigațiilor realizate în vara anului 2017, iar apoi și în anul 2018, prioritară a fost încercarea delimitării traiectoriei liniei defensive Vest nr. 2. În capătul de est, unde cercetările anului 2016 nu au dat rezultate, am decis să oprim cercetările, axându-ne pe latura de vest, acolo, unde perspectiva înțelegerii subiectului era mai vizibilă, în special în contextul celor doi indicatori deja prezentați: întreruperea artificială a segmentului fortificat și existența unui segment important de teren în care se observau aglomerații de pietre.

Menținând ipoteza traiectoriei semicirculare, ne-am propus s-o verificăm prin trasarea unor secțiuni care ar străbate, pe axa est-vest, teritoriul amplasat mai la sud de urmele vizibile ale liniei defensive Vest nr. 2. În acest fel, ar fi devenit posibil de clarificat, pe de o parte, dacă linia defensivă tinde spre o formă semicirculară, iar pe de alta – să lămurim care este traectoria acestei linii defensive, deocamdată ipotetice.

Totodată, un alt obiectiv al cercetărilor, urma să verifice spațiul aflat mai la nord de șanțul liniei



defensive Vest nr. 3. Această acțiune a fost determinată de unele incertitudini care s-au strecurat în interpretarea sistemului defensiv nr. 3, dar și de acele neconcordanțe ale amplasării șanțurilor între liniile defensive Vest nr. 2 și Vest nr. 3 (având în vedere posibilă traiectorie circulară a fortificației). În acest sens, din punct de vedere teoretic, putea fi admisă existența unor elemente defensive inclusiv în partea de nord a șanțului Vest nr. 3, care ar fi putut reprezenta un tot întreg cu acesta și care ar fi putut oferi o altă explicație decât cea pe care am oferit-o la moment. Atâta timp cât lucrurile nu erau verificate, plana suspiciunea unor posibile reinterpretări, îndemnându-ne să excludem orice duplicități.

Primele trei secțiuni trasate în anul 2017 (S X, S XI și S XII), care au avut menirea să verifice situația în dreptul limitei vizibile ale sistemului defensiv nr. 2 (fig. 2; Munteanu 2018), nu au oferit urme de fortificare, redimensionând meditațiile asupra posibilei organizări de apărare ale spațiului. Astfel, în condițiile verificărilor realizate, una dintre cele mai plauzibile ipoteze împingea traiectoria liniei defensive nr. 2 tocmai spre malurile râului (fig. 3). Am admis că aceasta ar putea să ajungă până în imediata apropiere a râului, iar de acolo să-și schimbe traiectoria spre sud, de-a lungul malului, fără să ne fie clar, la această etapă, până unde ar putea ajunge (eventual, spre o posibilă joncțiune cu elementele defensive descoperite în anul 2015 – linia defensivă Vest nr. 3, în cazul în care s-ar dovedi că există construcții defensive mai la nord de șanț ?).

Pentru a verifica ipoteza de lucru, am decis să trasăm o secțiune puțin mai la sud-vest de locul unde



Fig. 4. Microregiunea Orheiul Vechi – rezultatele prospecțiunilor Lydar (după Musteață, Popa, Voß 2017).

linia defensivă Vest nr. 2 dispărea de la nivelul actual de călcare (fig. 2, S XIII). Decizia a fost determinată și de observațiile asupra respectivului teren imediat după ce în acea zonă s-a intervenit pentru eliberarea unui segment din plantația de viță-de-vie. Observațiile au scos la lumina zilei unele aglomerații de piatră, ale căror repartizare în teren ofereau un tablou asemănător celui din spațiile aceleiași linii defensive în care cu certitudine au fost stabilite elementele de fortificare, confirmând, astfel, logica traiectoriei dedusă din observațiile vizuale anterioare, dar și valabilitatea ipotezei de lucru. La aceste observații se vor mai adăuga și imaginile Lydar, pe care am ajuns să le vedem, însă, deja după cercetările întreprinse și care au confirmat atât ipoteza de lucru, cât și rezultatele obținute, cel puțin în partea aflată în vizorul cercetărilor din anii 2017-2018 (fig. 4).

În acest fel, Secțiunea XIII a fost localizată mai înspre sud-vest de limitele vizibile ale liniei defensive Vest nr. 2, fiind orientată E-V, aproape



Fig. 5. Vedere generală dinspre vest asupra secțiunii nr. 14 la nivelul descoperirii aglomerațiilor de piatră.

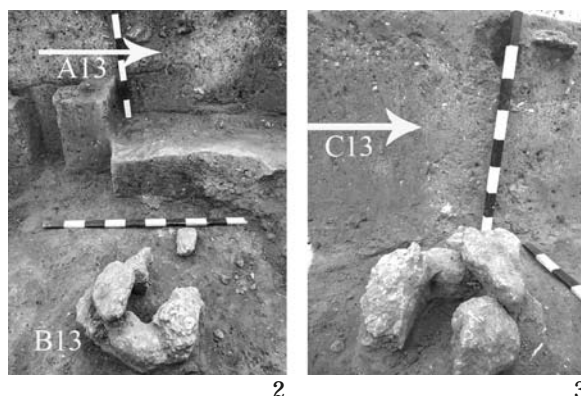


Fig. 6. Vedere asupra aliniamentelor de gropi: 1 - gropile din primul aliniament: D13 și E13; 2 - gropile din al doilea aliniament: A13 și B13; 3 - gropile din al doilea aliniament B13 și C13.

perpendicular pe albia râului și ajungea până în imediata apropiere a acestuia (fig. 2, S XIII). Din punctul cu coordonatele Lat. 47.182477708, Long. 28.573830551, Alt. 53.888, secțiunea a fost extinsă cu 20 m spre vest (spre albia râului) și cu 1 m spre sud, formând o suprafață rectangulară cu dimensiunile de 20×1 m, respectiv de 20 m<sup>2</sup> (fig. 5). În urma cercetărilor, la lumina zilei au fost scoase urmele unui șir de construcții și amenajări care pot fi puse în legătură cu edificarea sistemului defensiv ce ajungea până în imediata apropiere a apei.

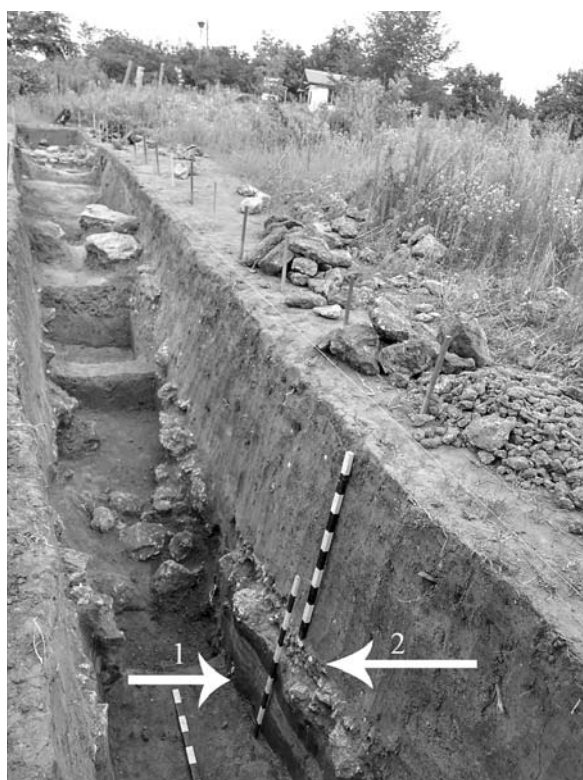
În primul rând, atragem atenția la aglomerația de piatră care s-a conturat pe o suprafață cu lungimea ce depășește 5 m. Multe dintre pietrele descoperite erau de dimensiuni mari (0,4×0,3×0,2 m) (fig. 5). La distanța de circa 3-3,5 m mai înspre vest de prima aglomerație de pietre (mai înspre albia râului), putea fi urmărită o a doua, dar pe o lungime mai mică.

În al doilea rând, de reținut că la marginea vestică a aglomerației amintite, au fost descoperite cel puțin 2 șiruri de gropi așezate în linii paralele pe axa N-S (fig. 6/1-3). Gropile aveau diametrul de circa 0,38-0,5 m, iar adâncimea lor varia de la 0,42 m la 0,54 m. În umplutura gropilor, mai aproape de fundul a două dintre ele au fost descoperite pietre de dimensiuni mai mici.

În al treilea rând, descoperirea unui șanț umplut cu pietre (fig. 7/1, 2), care este amplasat la o distanță de 3 m de la limita exterioară a gropilor de pari, formând, în acest fel, loc pentru bermă, reprezintă elemente suplimentare care definesc prezența sistemului defensiv (regăsite și în alte segmente cercetate anterior ale respectivei linii defensive). Astfel, se conturează existența unei construcții din lemn, piatră și pământ, precedate de un șanț despărțit prin bermă. Să urmărim detaliile tabloului.

#### **Amenajări ale sistemului defensiv: șanțul**

Șanțul (fig. 7/1, 2) a fost identificat începând de la intersecția carourilor A10 și A11 a secțiunii XIII și putea fi urmărit cu certitudine până în caroul A15. Revărsarea râului, dar și intervențiile ulterioare în spațiul șanțului, au eliminat orice posibilități de stabilire exactă a parametrilor dimensionali în segmentul cercetat, în special în partea de vest. Ceea ce a putut fi constatat cu certitudine este că deschiderea șanțului dinspre partea estică începea



1



2

Fig. 7. Vederi dinspre vest asupra șanțului umplut cu pietrele scurse din construcția defensivă: 1, 2 - diferite faze de cercetare.

la adâncimea de 0,2 m de la nivelul actual de călcare (intersecția carourilor A10 și A11). Din acel punct, șanțul cobora sub un unghi de circa 30 de grade pe o lungime de aproximativ 3 m, după care unghiul brusc se accentua, șanțul fiind posibil de urmărit pe o porțiune de încă 2 m. În perimetrul primilor 3 m șanțul se adâncea maximum până la 1,3 m de la nivelul actual de călcare (or 1,56 m de la nivelul deschiderii șanțului), iar în următorii 2 m adâncimea cobora până la 2,54 m de la nivelul actual de călcare, or 2,8 în raport cu nivelul deschiderii șanțului. Traectoria șanțului din acel punct spre vest nu a mai putut fi urmărită din două considerente: pe de o parte este vorba de procesele de revărsare ale Răutului (fig. 7, săgeata 1), iar pe de alta – de intervențiile ulterioare ce au fost realizate în perioada modernă (fig. 7, săgeata 2). Inundațiile succesive au rupt malul șanțului dinspre vest, acoperind fundul acestuia cu un strat gros de mâl ce alterna cu lentile de nisip (fig. 7, săgeata 1).

Făcând bilanțul celor prezentate, constatăm existența unui șanț care, în perimetrul spațiului cercetat, era orientat pe axa nord-sud și care a fost săpat de la nivelul stratului de petriș ce coincide

cu orizontul getic. Dimensiunile acestuia la nivelul deschiderii pot fi doar deduse, ele fiind de minim 7 m. Adâncimea maximă a șanțului coboară până la 2,8 m în raport cu nivelul de la care a fost săpat șanțul în partea de est. Forma șanțului nu poate fi restabilită exact, decât în partea ei de est unde pantele sunt relativ line până la 1,5 m, după care acestea capătă o accentuare mai pronunțată până la fundul șanțului. Practic toată partea de est a șanțului (cea dinspre incintă) a fost umplută cu pietre, dimensiunile unora fiind destul de consistente (fig. 7/1, 2).

### **Construcții ale sistemului defensiv**

Situația atestată în procesul cercetărilor oferă un șir de indici care trebuie luați în seamă în procesul de analiză și reconstituire a elementelor construcției defensive, pe care îi prezentăm în cele ce urmează.

În primul rând, pornim de la aglomerația de pietre, care a fost atestată pe o suprafață de circa 7 m la nivelul superior al descoperirii. Pietrele erau preponderent de dimensiuni medii și mari, printre ele fiind descoperite și anumite exemplare de di-



Fig. 8. Vedere dinspre sud-vest asupra aglomerației de pietre din construcția fortificației cu primul parament în prim-plan (fază a cercetării).

mensiuni mai mici (fig. 8). În spațiul vestic al aglomerației, pietrele erau practic la suprafață (fapt datorat intervenției buldozerului care a eliberat o parte din spațiul plantat cu viță-de-vie). Stratul de pietre avea grosimea ce varia între 0,3 și 0,4 m. În procesul de decapare s-a constatat că pietrele păstrate *in situ* ocupau o suprafață cu lățimea de circa 2 m și constituiau urmele unei construcții, restul fiind rezultatul prăbușirii construcției propriu zise. Pietrele s-au scurs atât în direcția extra-muros (ajungând, preponderent în șanț), cât și în direcția intra-muros (pe o distanță de circa 4-5 m). De luat în seamă modul în care au fost aranjate pietrele. Înainte de a realiza construcția, a fost adâncită suprafața de călcare cu aproximativ 0,2 m și în limitele viitoarei construcții s-a așternut un strat argilo-nisipos cu grosimea de 0,12-0,15 m (fig. 8; 9). Abia pe acest strat au fost depuse pietrele, care, după toate, formau două paramente. Cel puțin unul este foarte clar vizibil (cel dinspre spațiul extra-mural), fiind constituit, la bază, din plăci mari de piatră care erau neprelucrate, dar selectate pentru forma și dimensiunile sale și dispuse în linie dreaptă (fig. 8). Construcția din piatră nu a păstrat

urme de liant. Linia paramentului era amplasată oblic pe secțiunea trasată, sugerând foarte clar conexiunea cu urmele fortificației vizibile și astăzi la suprafața actuală a solului. Traectoria sistemului defensiv, în această zonă, făcea o curbă destul de pronunțată spre sud-vest. De altfel și al doilea parament putea fi relativ ușor sesizat, fiind paralel cu primul. Între cele două paramente au fost descoperite pietre care aveau dimensiunile ceva mai mici.

În al doilea rând trebuie atenționat asupra identificării unui șir de gropi de par. În total au fost descoperite 5 structuri certe, acestea fiind amplasate pe două aliniamente: una dintre ele, constituită din două gropi (fig. 6/1), se afla la intersecția carourilor A5-A6 (în apropierea construcției de piatră) și o a doua – la intersecția carourilor A7-A8, la distanța de circa 1,4-1,5 m de primul aliniament, fiind constituită din trei gropi (fig. 6/2, 3). Pentru a le delimita de gropile menajere, le-am marcat, pe măsura descoperirii, cu litere latine majuscule, începând de la litera A. Totodată, având în vedere că numerotarea gropilor de la alte segmente ale liniei defensive a fost realizată tot cu litere latine majuscule, pentru sistemul defensiv din S XIII am alăturat literei și cifra 13 arabă. Astfel, complexe ce reprezintă parte componentă a sistemului defensiv au fost numerotate începând cu A13, mergând spre B13, C13 etc. Vom prezenta în cele ce urmează caracteristicile celor cinci complexe amintite.

*Aliniamentul din carourile A5-A6.* Gropile acestui aliniament (două la număr) au fost amplasate la distanța de 0,2-0,25 m de la paramentul extra-mural al construcției de piatră.

Groapa D13 (fig. 6/1). A fost descoperită în caroul A6, la adâncimea de 0,3 m, fiind cercetată integral. Conturul gropii a fost surprins foarte clar pe fundalul solului de culoare brun-gălbuie. La nivelul descoperirii, groapa avea forma aproape circulară, ușor alungită pe axa N-S, cu dimensiunile de 0,42-0,38 m. De la nivelul descoperirii groapa se adâncea cu 0,12 m, îngustându-se ușor la fund. Având în vedere nivelul la care a fost descoperită groapa, admitem că adâncimea ei era nu mai mică decât 0,42m, dar, în contextul intervențiilor de la suprafața solului, care au scos un strat greu apreciabil ca grosime, adâncimea gropii ar putea fi și mai mare. Urme de lemn sau arsură nu au fost descoperite.

Groapa E13 (fig. 6/1). A fost descoperită la intersecția caroului A5 și A6, la adâncimea de 0,3 m, fiind cercetată integral. Conturul gropii a fost





Fig. 9. Vedere dinspre sud-est asupra aglomerației de pietre din construcția fortificației (fază a cercetării).

surprins foarte clar pe fundalul solului de culoare brun-gălbuie, la distanța de 0,28 m mai înspre nord-est de groapa D13. La nivelul descoperirii, groapa avea forma neregulată, apropiată de una circulară, ușor alungită pe axa N-S, cu dimensiunile de 0,44-0,38 m. De la nivelul descoperirii groapa se adâncea cu 0,1 m, ușor îngustându-se la fund. Având în vedere nivelul la care a fost descoperită groapa, admitem că adâncimea ei era nu mai mică decât 0,4m, dar, în contextul intervențiilor de la suprafața solului, care au scos un strat greu apreciabil ca grosime, adâncimea gropii ar putea fi și mai mare. Urme de lemn sau de arsură nu au fost descoperite.

**Aliniamentul din carourile A7-A8.** Gropile acestui aliniament (trei la număr) au fost amplasate la distanța de 1,4-1,5 m de la aliniamentul din carourile A5-A6.

Groapa A13 (groapă de par) (fig. 6/2). A fost descoperită la intersecția caroului A7 și A8, la adâncimea de 0,27 m, fiind observată doar în profilul de sud a secțiunii. Groapa avea, după toate, forma circulară, cu diametrul pe axa profilului de 0,48 m la nivelul superior. Pereții gropii erau ușor înclinați spre interior, coborând până la adâncimea de 0,51 m de la nivelul descoperirii. Fundul gropii avea diametrul de 0,38 m de-a lungul profilului. Umplutura gropii era constituită din sol amestecat cu petriș. Urme de lemn sau arsură nu au fost descoperite.

Groapa B13 (groapă de par) (fig. 6/2, 3). A fost descoperită la intersecția caroului A7 și A8, la adâncimea de 0,64 m, fiind cercetată integral. Conturul gropii nu a fost surprins foarte clar, dar delimitarea exactă a complexului a fost posibilă grație umpluturii acestuia. Groapa era umplută cu pietre, iar pe centrul ei s-a păstrat spațiul gol în care fusese introdus parul. Groapa avea forma circulară, cu diametrul de 0,47-0,5 m. Diametrul spațiului liber, respectiv dimensiunile parului, erau de 0,23 m. Urme de lemn sau arsură nu au fost descoperite.

Groapa C13 (groapă de par) (fig. 6/3). A fost descoperită în caroul A7, la adâncimea de 0,3 m de la nivelul actual de călcare, fiind observată doar în profilul de nord al secțiunii. Groapa avea, după toate, forma circulară în partea superioară, cu diametrul pe axa profilului de 0,48 m. Pereții gropii erau ușor înclinați spre interior, coborând până la adâncimea de 0,54 m. Fundul gropii avea diametrul de 0,4 m de-a lungul profilului. Umplutura gropii era constituită din sol amestecat cu petriș. Urme de lemn sau arsură nu au fost descoperite.

### Concluzii

În urma cercetărilor din anul 2017-2018, putem afirma cu certitudine că, în partea de vest, linia defensivă identificată în anul 2013 (linia defensivă Vest nr. 2), deosebită de cea cunoscută anterior (linia defensivă Vest nr. 1), nu se oprește în punctul în care dispare vizibilitatea ei la suprafața solu-

lui. Ea continuă spre albia râului, făcând o curbă în direcție sud-vestică și ajunge până în imediata apropierea a apei, după care cotește spre sud, de-a lungul acesteia (fig. 3, linia care unește punctele 3A și 4A, trecând prin punctele 3 și 4). Această traiectorie care urmează cursul apei este clar sugerată de aglomerațiile de piatră ce se vedeau la suprafața solului după intervenția buldozerului și care aveau conexiune perfectă cu descoperirile din anul 2018.

Elementele constitutive ale liniei defensive Vest nr. 2 din apropierea albiei râului sunt, în linii mari, asemănătoare elementelor cercetate în alte segmente ale aceleiași fortificații. Totodată, se întrezăresc anumite particularități care ne demonstrează că nu peste tot, în cadrul aceleiași linii defensive, au fost utilizate tehnici identice. În cazul ultimelor cercetări se remarcă existența acelei construcții din piatră cu două paramente, unul dintre care se evidențiază prin acuratețea selectării și aranjării pietrelor. În același context, de remarcat existența unui singur șanț, fapt observat ulterior și pe imaginea Lydar (fig. 4), ceea ce ar confirma selectarea diferitor strategii de fortificare a spațiului, în dependență de factorii ambientali. Fără a intra în discuții aprofundate, atragem atenția la configurația terenului și a râului (fig. 2), care se dovedesc a fi definitorii în alegerea modalităților de fortificare. Astfel, dinspre nord, acolo unde sunt amenajate două șanțuri, terenul este mai deschis, respectiv mai accesibilă avansarea. Dinspre vest, acolo unde avem prelungită linia defensivă până la râu, cu o curbă de-a lungul acestuia – avem bariera râului, dar, totuși, dincolo de râu se deschide un spațiu larg în care se poate manevra relativ ușor. În fine, acolo, unde pe imaginea Lydar dispăre linia defensivă, albia râului avansează tocmai până aproape de stâncă, astfel încât pericolul avansării pe această cale este redus la maximum).

Observațiile de pe imaginea Lydar a microzonei sunt în totală concordanță cu observațiile de teren, dar și cu cercetările realizate în anii 2017-2018. Totodată, ipoteza anterioară privind continuarea liniei defensive mai înspre sud și eventuala ei conexiune cu urmele defensive cercetate în anul 2015 (fig. 3, conexiunea liniei întrerupte de

la punctul nr. 3 cu linia dreaptă de la punctul 5), pare a fi una epuizată și considerăm oportun să renunțăm la ea. Faptul se datorează, în primul rând, discordanțelor ce sunt atestate în orientarea respectivelor linii defensive. Amintim, în acest sens, că linia defensivă Vest nr. 3 are spațiul extra-mural orientat spre zona intra-murală a liniei defensive Vest nr. 2. De mai menționat că în vara anului 2018, așa după cum ne-am propus, am întreprins un sondaj în imediata apropiere a șanțului de la sistemului defensiv Vest nr. 3 dinspre partea de nord (fig. 2, S XIV). Acesta a fost determinat de verificarea unei eventuale existențe a elementelor defensive, în partea opusă a șanțului, fapt neconfirmat, ceea ce tranșează ideea a două linii total diferite (linia defensivă Vest nr. 2 și nr. 3). În al doilea rând, de pe imaginea Lydar, pe care am consultat-o deja după cercetările din vara anului 2017, nu se deduce prelungirea liniei defensive Vest nr. 2 până la linia defensivă Vest nr. 3 (fig. 4), respectiv nu se observă conexiunea dintre anomalii – în cazul de față a celor ce reprezintă urmele sistemului defensiv cercetat în anul 2015, linia defensivă Vest nr. 3 și a celui cercetat de-a lungul anilor, inclusiv în 2018 – linia defensivă Vest nr. 2.

În acest fel, dincolo de anumite progrese în stabilirea modalităților de fortificare a limitei vestice a promontoriului Butuceni, rămân nedeslușite mai multe aspecte. În mod particular, vorbind de linia defensivă Vest nr. 2, rămân a fi nelămurite problemele privind limitele fortificației atât dinspre sud, cât și dinspre est. Rămân a fi sub semn de întrebare mai multe aspecte ce țin de linia defensivă Vest nr. 3: ce spațiu protejează, ce traiectorie are și cum se corelează cu fortificația delimitată de linia defensivă Vest nr. 2 și prin ce se explică o astfel de organizare a spațiului fortificat? Un alt subiect care rămâne a fi verificat, în special în contextul analizei Lydar, este modul în care cele două șanțuri din partea nordică a liniei defensive Vest nr. 2 făceau joncțiune în zona apropierei de albia râului. Evident, studierea liniei defensive Vest nr. 1 rămâne a fi un deziderat de perspectivă, care necesită o strategie separată și care ar putea fi mai bine stabilită doar când vor fi mai mult sau mai puțin clare situațiile enumerate mai sus.

## Bibliografie

- Arnăuț 1996:** T. Arnăuț, Arheologul G.D. Smirnov și unele probleme de concepție privind istoria mil. I î.e.n. Tyrageia III, 1996, 275-281.
- Munteanu 2015:** O. Munteanu, Raport tehnico-științific privind cercetările arheologice realizate în anul 2014 în situl getic Butuceni, raionul Orhei (Chișinău 2015). Arhiva MNIM.

- Munteanu 2016a:** O. Munteanu, Noi descoperiri defensive în partea de vest a promontoriului Butuceni. *Tyrage-tia* s.n. X/1, 2016, 237-252.
- Munteanu 2016b:** O. Munteanu, Fortificația getică Butuceni: 3 ani de la revenire. In: Sesiunea științifică a Departamentului Istoria Românilor, Universală și Arheologie a USM. Program și rezumate, ediția a III-a (Chișinău 2016), 23-24.
- Munteanu 2016c:** O. Munteanu, Raport tehnico-științific privind cercetările arheologice realizate în anul 2015 în situl getic Butuceni, raionul Orhei (Chișinău 2016). Arhiva MNIM.
- Munteanu 2017a:** O. Munteanu, Butuceni: general and particular features of the defense system from the west side of promontory. In: (Eds. A. Zanoci, V. Sîrbu, M. Băț ) Iron Age fortifications on the Tisa-Dniester space. Proceeding of Saharna Summer Colloquium, July 14<sup>th</sup>-17<sup>th</sup> 2016 (Chișinău-Brăila 2017), 65-113.
- Munteanu 2017b:** O. Munteanu, Cercetările arheologice de la Butuceni în anul in 2016. In: Cercetări Arheologice în Republica Moldova. Campania 2016. Sesiunea Națională de Rapoarte. 24 mai 2017. Program și rezumatele comunicărilor (Chișinău 2017), 44-46.
- Munteanu 2017c:** O. Munteanu, Raport tehnico-științific privind cercetările arheologice realizate în anul 2016 în siturile Butuceni și Orheiul Vechi, raionul Orhei (Chișinău 2017). Arhiva MNIM.
- Munteanu 2018:** O. Munteanu, Raport tehnico-științific privind cercetările arheologice realizate în anul 2017 în situl getic Butuceni-Vest, raionul Orhei (Chișinău 2018). Arhiva MNIM.
- Munteanu et al. 2014:** O. Munteanu, V. Pașa, S. Popovici, V. Iarmulschi, Raport tehnico-științific privind cercetările arheologice preventive realizate în anul 2013 pe teritoriul rezervației cultural-naturale „Orheiul Vechi” (Chișinău 2014). Arhiva MNIM.
- Munteanu, Iarmulschi, Popovici 2014:** O. Munteanu, V. Iarmulschi, S. Popovici, Preliminarii privind cercetările arheologice la Butuceni în anul 2013, raionul Orhei. *Arheologia Preventivă în Republica Moldova I/1-2*, 2014, 55-67.
- Munteanu, Moraru 2015:** O. Munteanu, S. Moraru, Remodelarea sistemului defensive getic de pe promontoriul Butuceni. In: *Probleme actuale ale arheologiei, etnologiei și studiului artelor. Conferința științifică internațională*, ed. VII-a, Chișinău 26-28 mai 2015. Programul și rezumatele comunicărilor (Chișinău 2015), 33.
- Munteanu, Moraru, Vetrilă 2015:** O. Munteanu, S. Moraru, M. Vetrilă, Cercetările arheologice din anul 2014 în situl fortificat de la Butuceni, r-nul Orhei. *Arheologia preventivă în Republica Moldova II*, 2015, 33-42.
- Musteață, Popa, Voß 2017:** S. Musteață, A. Popa, H.-U. Voß, Non-Invasive Archaeology in the Republic of Moldova – an example of multidisciplinary approach and international partnership, *Internet Archaeology* 43. <https://doi.org/10.11141/ia.43.4>
- Niculiță 1996:** I. Niculiță, Habitatul traco-getic de la Butuceni. *Thraco-Dacica XVII/1-2*, 1996, 139-167.
- Niculiță, Zanoci 1999:** I. Niculiță, A. Zanoci, Les vestiges du type Saharna-Solonceni decouverts sur le promontoire de Butuceni. *Thraco-Dacica XX*, 1999, 135-142.
- Niculiță, Teodor, Zanoci 1995:** I. Niculiță, S. Teodor, A. Zanoci, Săpăturile arheologice de la Butuceni, raionul Orhei, 1993-1994. In: *Cercetări arheologice în aria nord-tracă, I* (București 1995), 472-490.
- Niculiță, Teodor, Zanoci 1997:** I. Niculiță, S. Teodor, A. Zanoci, Săpăturile arheologice de la Butuceni, raionul Orhei, 1995-1996. In: *Cercetări arheologice în aria nord-tracă, II* (București 1997), 292-339.
- Niculiță, Teodor, Zanoci 2002:** I. Niculiță, S. Teodor, A. Zanoci, Butuceni. Monografie arheologică (București 2002).
- Смирнов 1954:** Г.Д. Смирнов, Археологические исследования Старого Орхея. *КСИА* 56, 1954, 26-34.

### **The Getic defensive system of Butuceni-West: details regarding the West No. 2 defensive line trajectory**

**Keywords:** Getic fortifications, defensive lines, complex palisade, berm, defensive ditch, semicircular trajectory.

**Abstract:** As a result of preliminary research conducted in Butuceni in 2013, information was obtained on the organization of a defensive system that proved to be totally different from those that were known until that time. The discoveries made predetermined the continuation of the field work, which was carried out until 2018 and is still far from completion. New defensive lines were discovered and investigated; their configuration, correlation and synchronization are far from completion, and this determines the minimum set of tasks that need to be solved. One of the key issues considered in 2017–2018 was to explain the possible trajectory of the Butuceni-West No. 2 defensive line. The working hypothesis, which implied a semicircular trajectory of the fortification, was confirmed by the results obtained from several test pits. These studies have revealed the remains of a complex palisade (consisting of two rows of pillar pits and a stone wall), a berm and a ditch filled with stones from a destroyed fortification structure.

*List of illustrations:*

Fig. 1. Geographical location and the orthophotomap of the Butuceni site.

Fig. 2. The western side of the Butuceni Promontory. Orthophotomap. Location of the excavations made during the period of 2013-2018.

Fig. 3. Butuceni Promontory. Northwest general view with marks where signs of fortification were identified (1-5). Interrupted dashed line: defined defensive line trajectory; interrupted line: a hypothetical trajectory of the defensive system.

Fig. 4. Old Orhei – the LIDAR survey results (after Musteață, Popa, Voß 2017).

Fig. 5. General view from the west to the excavation no. 14 at the level of discovery of the stone agglomerations.

Fig. 6. View of the linear arrangement of pillar pits: 1 - pits of the first line: D13 and E13; 2 - the pits of the second line: A13 and B13; 3 - the pits of the second line B13 and C13.

Fig. 7. A view from the west of a ditch filled with stones from a defensive structure: 1, 2 - different stages of research.

Fig. 8. A view from the southwest of the stone agglomeration that formed the defensive structure (the stone base in the foreground, the stage of research).

Fig. 9. A view from the southeast of the stone agglomeration that formed the defensive structure (the stage of research).

### **Гетская оборонительная система Бутучень-Вест: уточнения относительно траектории оборонительной линии Вест № 2**

*Ключевые слова:* гетские укрепления, оборонительные линии, комплексный палисад, берма, оборонительный ров, полукруглая траектория.

*Резюме:* В результате предварительных исследований, проведенных в Бутучень в 2013 году, была получена информация об организации оборонительной системы, которая полностью отличалась от тех, что были известны до этого времени. Сделанные открытия предопределили продолжение полевых работ, которые проводились вплоть до 2018 года и еще далеки от завершения. Были открыты и исследованы новые оборонительные линии, конфигурация, корреляция и синхронизация которых далеки от завершения, и этим определяется минимальный набор задач, которые необходимо решить. Один из ключевых вопросов, рассматривавшихся в 2017-2018 годах, заключался в том, чтобы объяснить возможную траекторию оборонительной линии Бутучень-Вест № 2. Рабочая гипотеза, согласно которой конфигурация укрепления была полукруглой, была подтверждена полученными результатами из нескольких проверочных шурфов. В результате исследования перед нами предстали следы комплексного палисада (состоящего из двух рядов столбовых ям и каменной стены), бермы и рва, заполненного камнями из разрушенной фортификационной конструкции.

*Список иллюстраций:*

Рис. 1. Географическое расположение и ортофотоплан памятника Бутучень.

Рис. 2. Западная сторона мыса Бутучень. Ортофотоплан. Расположение раскопов исследованных в период 2013-2018 гг.

Рис. 3. Бутученский мыс. Северо-западный общий вид с отметками, где были обозначены признаки укрепления (1-5). Прерванная пунктирная линия: установленная траектория оборонительной линии; прерванная линия: гипотетическая траектория оборонительной системы.

Рис. 4. Микрорайон Старый Орхей – результаты сканирования Лидар (по Musteață, Popa, Voß 2017).

Рис. 5. Общий вид с запада на раскоп № 14 на уровне обнаружения каменных скоплений.

Рис. 6. Вид на линейное расположение столбовых ям: 1 - ямы первой линии: D13 и E13; 2 - ямы второй линии: A13 и B13; 3 - второй линии: B13 и C13.

Рис. 7. Вид с запада на ров, заполненный камнями из оборонительного сооружения: 1, 2 - разные фазы исследований.

Рис. 8. Вид с юго-запада на скопление камней, составлявших оборонительную структуру (каменная основа на переднем плане, этап исследования).

Рис. 9. Вид с юго-востока на скопление камней, составлявших оборонительную структуру (этап исследования).

05.09.2018

*Dr. Octavian Munteanu*, Universitatea Pedagogică de Stat „Ion Creangă”, str. Ion Creangă nr. 1, MD-2069, Chișinău, Republica Moldova, e-mail: ocmunteanu@gmail.com

*Nicolae Batog*, Universitatea Pedagogică de Stat „Ion Creangă”, str. Ion Creangă nr. 1, MD-2069, Chișinău, Republica Moldova, e-mail: batognicolai@gmail.com

*Valeriu Prohnițchi*, Universitatea Pedagogică de Stat „Ion Creangă”, str. Ion Creangă nr. 1, MD-2069, Chișinău, Republica Moldova, e-mail: valeriu.prohniitchi14@gmail.com